多段型端面掘削方式を用いたモデル掘削機の実験

呉工業高等専門学校 正会員 重松 尚久 吳工業高等専門学校 学生会員 花岡 尚 北岡 一成 呉工業高等専門学校 学生会員

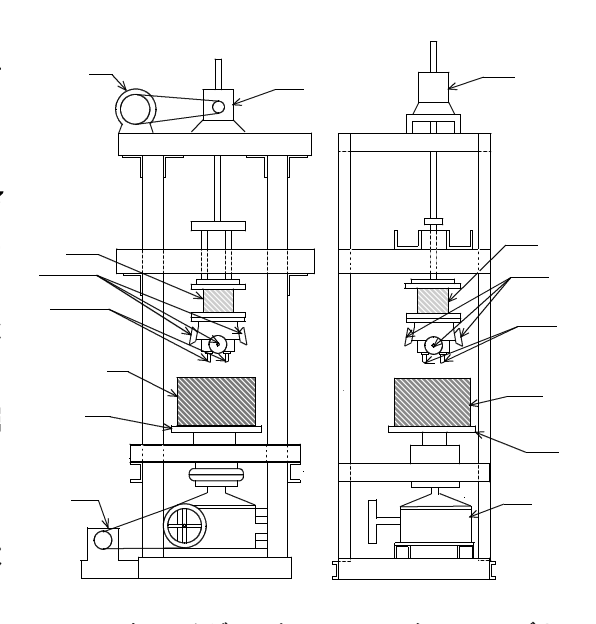
1.はじめに 本研究は、端面掘削方式を用いた円錐体型 コンクリート掘削機モデル実機の実験を行う。実験により 垂直力Fz、回転トルクTを測定し、各掘削段階における 円錐体型コンクリート掘削機モデルに作用する垂直力 Fz と作用トルク アの変化と、各剥離破砕刃に作用する諸力に ついて考察する。

2.実験方法 掘削中に 1 回転当たりの貫入量が一定とな る変位制御による実験を行う。 12mm の 2 本のポイント アタックビットで中心より半径 30mm 初期掘削を行い、掘 削深さが 28mm になると 60mm、刃物角 55π/180rad の 1 段目の2枚のディスクカッタビットが、ポイントアタック ビットの掘削した溝から 30mm 広がった部分よりあたりは じめ端面掘削を行う。それに続き 1 段目のディスクカッタ ビットより 30mm 広がった部分から 2 段目の 2 枚のディス クカッタビットが端面掘削を行う。図-1 に実験装置の概略 図を示す。掘削速度は 0.058mm/sec に設定し、回転する供 試体に押しつけて掘削していく。実験用の供試体は一軸圧 縮強度 40N/mm² 以上のモルタル供試体を用いた。図-2 にモ デル実機の平面図を示す。今回ディスクカッタビ ットの周面摩擦を軽減させるために 10 °の入射

3.実験結果と考察 今回のモデル実機の製作に あたり、過去の掘削速度 0.058mm/sec における実 験データ ^{1),2)}より、今回作用するであろうトルク T および垂直力 *F z*を推測した。表-1 に過去の実験 ¹⁾ によって得られたポイントアタックビットおよび ディスクカッタビット 1 つあたりに作用する転が り抵抗 Fxおよび垂直力 Fzを示す。推測したトル ク Tのグラフを図-3 に示し、今回実験で得られた トルク Tのデータのグラフを図-4 に示す。図-2 のモデル立面図を参照しながら算定する。

角をつけて設置した。

ポイントアタックビット掘削時(区間) ポイントアタックビット 2 本でのみ掘削さ れているので、トルク T および垂直力 F_z は 次のように算出される。



ウォームジャッキ ロードセル ディスクカッタビット

ターンテーブル モータ (1.5 k w) 減速機

ポイントアタックビット

 $\mathbf{E} - \mathbf{9} (0.2 \,\mathrm{kw})$

供試体

図- 1 実験機概略図

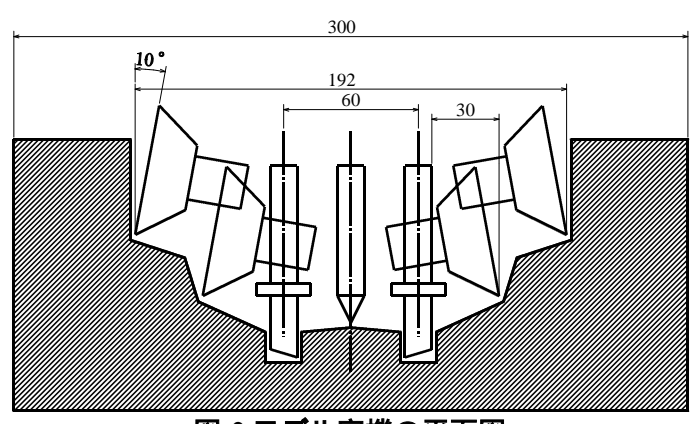


図-2 モデル実機の平面図

表-1 ビット1つあたりに作用する力

| | 転がり抵抗 <i>Fx</i> (kN) | 垂直力Fz(kN) |
|-------------------|----------------------|-----------|
| ポイントアタックビット | 8.0 | 1.5 |
| ディスクカッタビット初期端面掘削時 | 5.0 | 4.5 |
| ディスクカッタビット定常端面掘削時 | 3.0 | 3.0 |

トルク T $8 \times 30 \times 10^{-3} \times 2 = 0.48$ kN・m

垂直力 F_z $1.5 \times 2 = 3kN$

ポイントアタックビット 2 本と 1 段目ディスクカッタビット 2 個で掘削を行っているので、1 段目初期端面掘削時および 1 段目定常端面掘削時は次のように算出される。

1段目初期端面掘削時(区間)

トルク
$$T (8 \times 30 \times 10^{-3}) \times 2 + (5 \times 60 \times 10^{-3}) \times 2 = 1.08$$
kN・m

垂直力 Fz 1.5 × 2 + 4.5 × 2 = 12kN

1段目定常端面掘削時(区間)

トルク T ($8 \times 30 \times 10^{\text{-3}}$) \times 2 + ($3 \times 60 \times 10^{\text{-3}}$)

$$\times 2 = 0.84$$
kN• m

垂直力 F_z 1.5 × 2 + 3.0 × 2=9kN

ポイントアタックビット 2 本と 1 段目ディスクカッタビット 2 個(定常端面掘削)と 2 段目ディスクカッタビット 2 個で掘削を行っているので、2 段目初期端面掘削時および 2 段目定常端面掘削時は次のように算出される。

2段目初期端面掘削時(区間)

トルク
$$T$$
 ($8 \times 30 \times 10^{-3}$) × 2+($3 \times 60 \times 10^{-3}$) × 2 + ($5 \times 90 \times 10^{-3}$) × 2 = 1.74kN• m

垂直力 F_z 1.5 × 2 + 3.0× 2 + 4.5 × 2 = 18kN

2段目定常端面掘削時(区間)

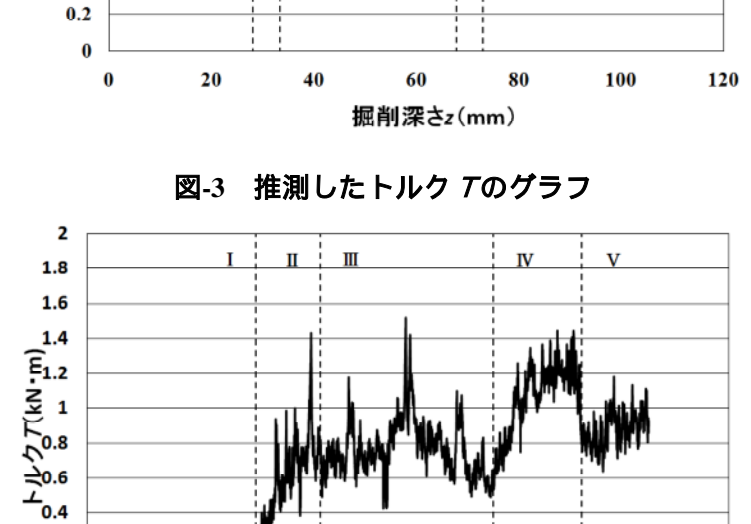


図-4 実測トルク T と掘削深さの関係

60

掘削深さz(mm)

80

100

120

40

トルク T (8 × 30 × 10⁻³) × 2+(3 × 60 × 10⁻³) × 2 + (3 × 90 × 10⁻³) × 2=1.38kN・m

垂直力 Fz 1.5x2+3.0x2+3.0x2=15kN

以上の結果と実験データの値を比べてみる。

0.2

20

2

1.8

1.6

1.4

1

0.8

0.4

Ê 1.2

- 1-1-0 T(kN

и п ш

IV V

4.結論

- (1) 多段型掘削機モデルでのモルタル供試体掘削は可能であった。
- (2) トルクの予想値は実験値と比べると妥当であった。

参考文献

- 1) 重松尚久・花岡尚・室達朗・道路建設における環境に優しい硬質岩盤剥離掘削技術の開発・平成 20 年度 建設施工と建設機械シンポジウム論文集,23-107,2008.
- 2) 重松尚久・外山勇希・ポイントアタックビットを用いた硬質岩盤掘削機の掘削性能について・第 60 回平成 20 年度土木学会中国支部研究発表会発表概要集, -12,2008.